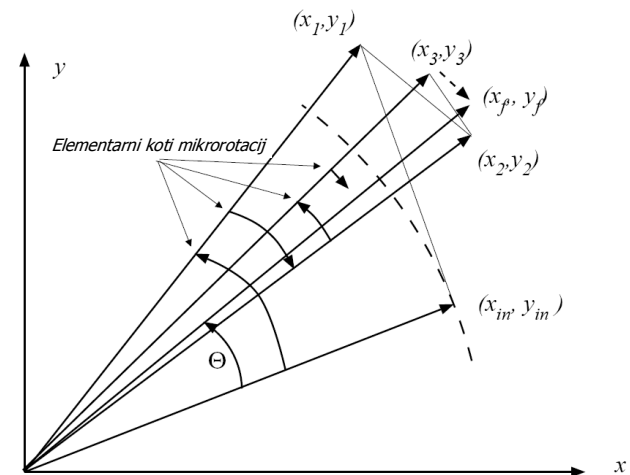


## CORDIC algoritem za izračun $\sin(\theta)$ in $\cos(\theta)$

V VHDL programirajte arhitekturo splošne strukture CORDIC (ang. COordinate Rotation DIgital Computer) vezje za izračun kotnih funkcij  $\sin$  in  $\cos$ . Delovanje CORDIC algoritma kratko povzema spodnja psevdokoda, ki se nahaja v JavaScript dokumentu ([cordic\\_rotation\\_circular.htm](#)) v predlogi vaje. V tem dokumentu se izpišeta izračuna  $\sin$  in  $\cos$  po CORDIC algoritmu in z uporabo matematičnih funkcij knjižnice v jeziku JavaScript. Program za dani kot  $\theta$  izračuna razliko med CORDIC algoritmom in izračunom z uporabo matematičnih funkcij ter izpiše vse iteracije CORDIC algoritma.

```
for (k = 0; k < width; k++) {  
    var x_temp = x;  
    if ( z >= 0 ) {  
        x -= (y >> k);  
        y += (x_temp >> k);  
        z -= elementary_angles[k];  
    }  
    else {  
        x += (y >> k);  
        y -= (x_temp >> k);  
        z += elementary_angles[k];  
    }  
}
```



Slika 1: CORDIC mikrorotacije vektorja.

CORDIC algoritem v načinu *vrtenja* (ang. rotation mode) temelji na splošnem vrtenju krajevnega vektorja v ravnini  $(x, y)$  za kot  $\theta$ , kot prikazuje Slika 1. Krajevni vektor točke  $(x_{in}, y_{in})$  zavrtimo za kot  $\theta$  tako, da tvorimo zaporedje mikrorotacij  $(x_1, y_1)$ ,  $(x_2, y_2)$ ,  $(x_3, y_3)$  ... do končnega krajevnega vektorja točke  $(x_f, y_f)$ . Krajevni vektor zavrtimo vsakič za vnaprej definirani elementarni kot  $(\alpha_k)$ , pri čemer želimo zmanjšati razliko med trenutnim kotom vrtenja in  $\theta$  proti 0.

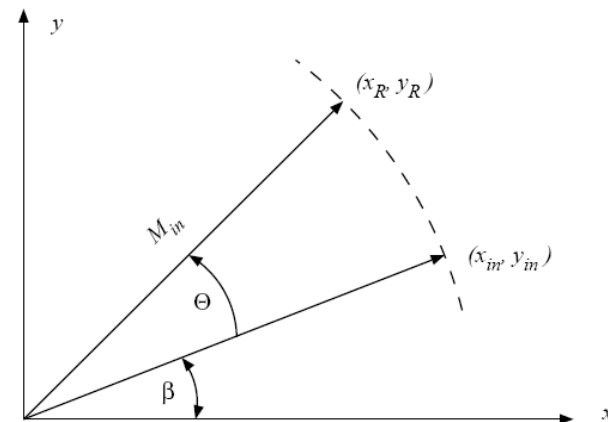
Matematično operacijo vrtenja krajevnega vektorja zapišemo kot:

$$M_{in} \cdot e^{j(\beta+\theta)} = \begin{cases} x_R = M_{in} \cdot \cos(\beta + \theta) \\ y_R = M_{in} \cdot \sin(\beta + \theta) \end{cases}$$

$$\begin{aligned} x_R &= M_{in} \cdot \cos(\beta + \theta) = M_{in} \cdot (\cos(\beta) \cdot \cos(\theta) - \sin(\beta) \cdot \sin(\theta)) \\ y_R &= M_{in} \cdot \sin(\beta + \theta) = M_{in} \cdot (\sin(\beta) \cdot \cos(\theta) + \cos(\beta) \cdot \sin(\theta)) \end{aligned}$$

$$\begin{aligned} x_{in} &= M_{in} \cos(\beta) \\ y_{in} &= M_{in} \sin(\beta) \end{aligned}$$

$$\begin{aligned} x_R &= x_{in} \cos(\theta) - y_{in} \sin(\theta) \\ y_R &= x_{in} \sin(\theta) + y_{in} \cos(\theta) \end{aligned}$$



**Slika 2: Vrtenje krajevnega vektorja v ravnini.**

Kot vrtenja  $\theta$  lahko izrazimo kot vsoto ustrezno predznačenih elementarnih kotov  $\alpha_k$ . Ta vsota se v Eulerjevem operatorju vrtenja ( $e^{j\theta}$ ) prevede v produkt posameznih mikrorotacij.

$$\begin{aligned} \theta &= \sum_{k=0}^{\infty} \alpha_k \\ M_{in} \cdot e^{j\theta} &= M_{in} \cdot \prod_{k=0}^{\infty} e^{j(\alpha_k)} \\ e^{\pm j(\alpha_k)} &= \cos(\alpha_k) \pm j \cdot \sin(\alpha_k) \end{aligned} \tag{1.1}$$

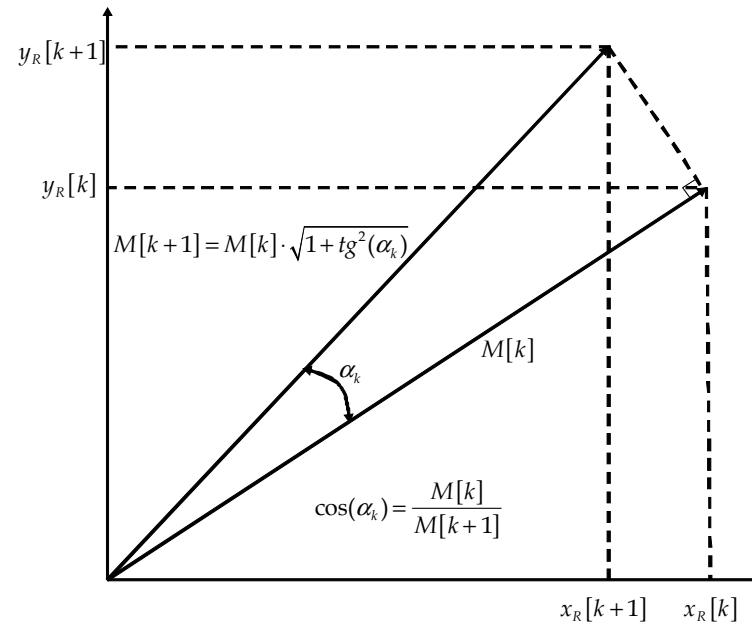
Če operator vrtenja ( $e^{j\theta}$ ) izrazimo za k-to mikrorotacijo dobimo:

$$\begin{aligned} x_R[k+1] &= x_R[k] \cdot \cos(\alpha_k) - y_R[k] \cdot \sin(\alpha_k) \\ y_R[k+1] &= x_R[k] \cdot \sin(\alpha_k) + y_R[k] \cdot \cos(\alpha_k) \end{aligned} \tag{1.2}$$

Izpostavimo  $\cos(\alpha_k)$  in dobimo:

$$\begin{aligned}x_R[k+1] &= \cos(\alpha_k) \cdot (x_R[k] - y_R[k] \cdot \operatorname{tg}(\alpha_k)) \\y_R[k+1] &= \cos(\alpha_k) \cdot (y_R[k] + x_R[k] \cdot \operatorname{tg}(\alpha_k))\end{aligned}\tag{1.3}$$

Ilustracijo enačbe (1.3) prikazuje slika 3.



**Slika 3:** Mikrorotacija krajevnega vektorja za kot  $\alpha_k$ .

Iz slike 3 in enačbe (1.3) sledita pomembni lastnosti:

- 1.) Rezultat mikrorotacije (vektor  $x_R[k+1]$ ,  $y_R[k+1]$ ) je za člen  $\cos(\alpha_i)$  daljši od prejšnje iteracije  $x_R[k]$   $y_R[k]$ , kot je prikazano na sliki 3. Pri mikrorotaciji vektorja se njegova dolžina ne sme spreminjati, zato moramo podaljšanje kompenzirati z členom  $K[k]$ . Ker se prispevki podaljšanj  $K[k]$  medsebojno množijo glede na enačbo (1.1), jih lahko izpostavimo in obravnavamo posebej, tako da izrazimo celotni popravek  $K$  kot produkt členov  $K[k]$ .

$$M[k+1] = K[k] \cdot M[k] = \frac{1}{\cos(\alpha_k)} \cdot M[k]$$

$$K = \prod_{k=0}^{\infty} \left( \frac{1}{\cos(\alpha_k)} \right) = \prod_{k=0}^{\infty} \left( \sqrt{1 + tg^2(\alpha_k)} \right) \quad (1.4)$$

- 2.) Operacija mikrorotacije zahteva množenje s  $tg(\alpha_k)$ , kar je aritmetično potratna operacija, če elementarnega kota ( $\alpha_k$ ) ne izberemo pravilno. Elementarni kot ( $\alpha_k$ ) zato izberemo kot  $arctg(2^{-k})$ , da se izognemo operaciji množenja:

$$tg(\alpha_k) = \pm 2^{-k}$$

$$tg(\alpha_k) = \sigma_k \cdot 2^{-k} \quad \sigma_k = \{1, -1\} \quad (1.5)$$

Če vstavimo izraz za elementarni kot ( $\alpha_k$ ), dobljeni par enačb ne vsebuje več množenja, temveč smo ga prevedli na predznačeno ( $\sigma_k$ ) pomikanje za  $k$  mest desno - operacija SRA (ang. shift right arithmetic) operandov  $x$  in  $y$ .

$$x_R[j+1] = \cos(\alpha_j) \cdot (x_R[j] - y_R[j] \cdot \sigma_j \cdot 2^{-j})$$

$$y_R[j+1] = \cos(\alpha_j) \cdot (y_R[j] + x_R[j] \cdot \sigma_j \cdot 2^{-j}) \quad (1.6)$$

V izraz za korekcijski faktor  $K$  vstavimo ( $\alpha_k$ ) in dobimo konvergentno vrsto:

$$K = \prod_{k=0}^{\infty} \left( \sqrt{1 + tg^2(\alpha_k)} \right) = \prod_{k=0}^{\infty} \left( \sqrt{1 + 2^{-2k}} \right) \approx 1.64676025812107 \quad (1.7)$$

CORDIC algoritem v načinu vtenja (ang. rotation mode) uporablja spremenljivki  $x$  in  $y$  za hranjenje vrednosti projekcij krajevnega vektorja vrtenja na abscisno in ordinatno os, medtem ko spremenljivka  $z$  hrani trenutni kot vrtenja. V CORDIC algoritmu za izračun **sin(θ)** in **cos(θ)** spremenljivko  $z$  spreminjamo z ustrezno predznačenimi ( $\alpha_k$ ) tako, da se končna vrednost približa  $z \rightarrow 0$ . Če se ozremo nazaj na sliko 1, CORDIC za splošno vrednost vrtenja krajevnega vektorja ( $x_{in}, y_{in}$ ) za kot  $\theta$  izračuna:

$$\begin{aligned}x_f &= K \cdot (x_{in} \cos(\theta) - y_{in} \sin(\theta)) \\y_f &= K \cdot (x_{in} \sin(\theta) + y_{in} \cos(\theta)) \\z_f &= 0\end{aligned}\tag{1.8}$$

V primeru izračuna funkcij  $\sin(\theta)$  in  $\cos(\theta)$  postavimo za začetno iteracijo enotni vektor na abscisno os ( $y_{in}=y[0]=0$ ). Glede na enačbo (1.8) dolžino enotnega vektorja korigiramo tako, da ga postavimo na obratno vrednost korekcijskega faktorja ( $x_{in}=x[0]=1/K$ ), s čimer se izognemo končnemu popravljanju rezultata za konstanto  $K$ . Po zadnji iteraciji zaporedja mikrorotacij ( $x_f, y_f$ ) se v spremenljivki  $x$  nahaja vrednost funkcije **cos(θ)**, v spremenljivki  $y$  pa vrednost **sin(θ)**. Če enačbe CORDIC iteracije strnemo, dobimo:

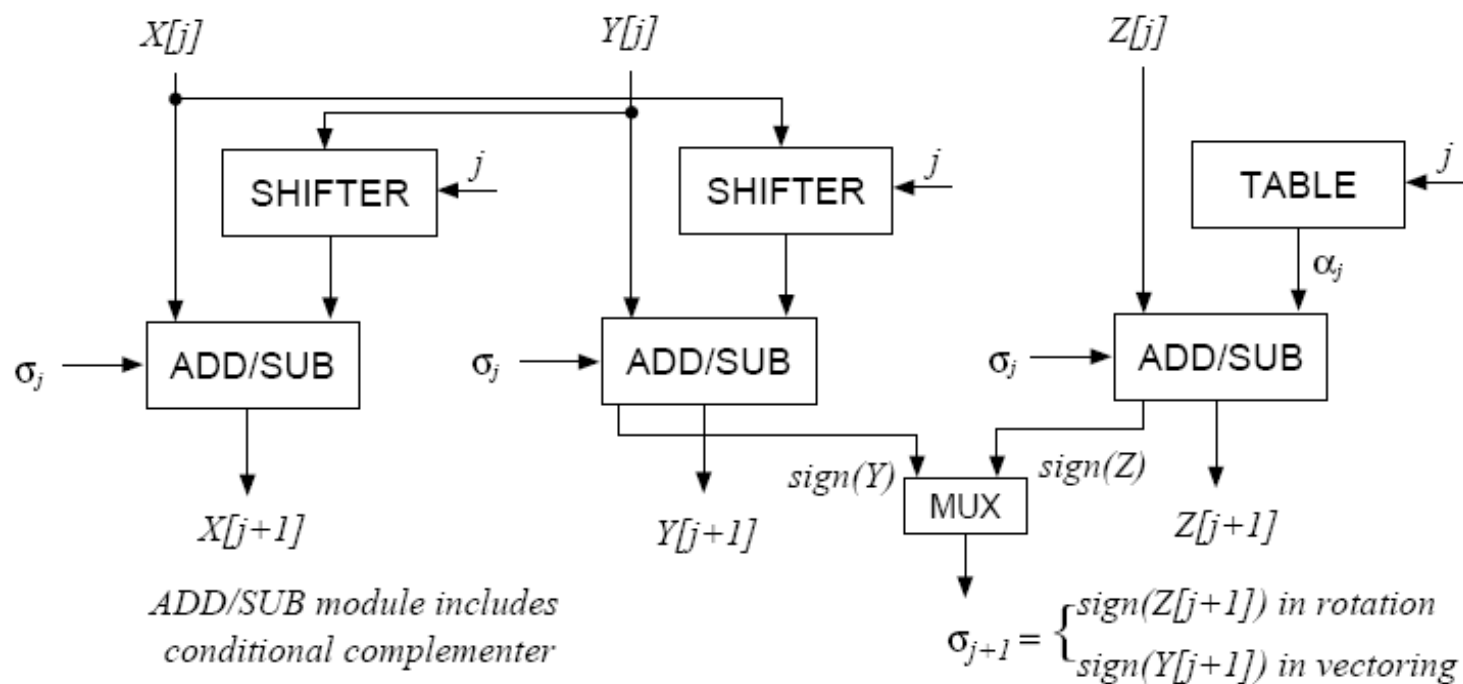
$$\begin{aligned}x[k+1] &= x[k] - y[k] \cdot \sigma_k \cdot 2^{-k} \\y[k+1] &= y[k] + x[k] \cdot \sigma_k \cdot 2^{-k} \\z[k+1] &= z[k] - \sigma_k \cdot \arctg(2^{-k})\end{aligned}\tag{1.9}$$

$$x[0] \approx \frac{1}{1.6468} \quad y[0] = 0 \quad z[0] = \theta \quad \sigma_k = \text{sgn}(z[k])$$

## Opis podatkovne poti CORDIC algoritma

Slika 4 prikazuje podatkovno pot opisanega CORDIC algoritma. Podatkovna pot vsebuje:

- ROM pomnilnik, ki hrani tabelo elementarnih kotov (TABLE),
- primerjalnik predznaka spremenljivke  $z$  ( $\sigma_k$ ) (SIGN(Z)),
- splošni vzporedni pomikalnik predznačenih števil (SHIFTER),
- vezje seštevalnika/odštevalnika (ADD/SUB) ter
- števca navzgor, ki realizira **(for)** zanko v psevdokodi na začetku predloge (ni narisano).



Slika 4: Poenostavljena podatkovna pot CORDIC algoritma za izračun funkcij sin in cos.

Entiteta izdelane strukture **cordic** naj ima priključke:

```
ENTITY cordic IS
  GENERIC(
    WIDTH : integer := 32
  );
  PORT(
    clk, nRST, start : IN std_logic;
    angle            : IN std_logic_vector ( WIDTH - 1 DOWNT0 0);  -- angle(radians)!!!
    sin, cos         : OUT std_logic_vector ( WIDTH - 1 DOWNT0 0);
    done             : OUT std_logic
  );
END cordic;
```

Vezje vsebuje vhod za kot  $\theta$  (**angle**), katerega kotni funkciji računamo, in izhoda (**sin**, **cos**), v katerih se pojavita rezultata operacij sin in cos. Širina kota (**angle**) in rezultata izračuna (**sin**, **cos**) je (**width**). Izračun kotnih funkcij se izvaja sekvenčno, ko postavimo vhod (**start**) v aktivno stanje '1'. Ko je izračun končan, se postavi izhod (**done**) na '1'. Vezje postavimo v začetno stanje z aktiviranjem vhoda (**nRST**).

## Elementi podatkovne poti CORDIC algoritma

### ROM pomnilnik s tabelo elementarnih kotov

Za zapis posamezne vrednosti elementarnega kota v tabeli uporabimo obliko zapisa s fiksno vejico (ang. fixpoint notation). Zapis števila v obliki s fiksno vejico podaja spodnja tabela. Število zapišemo na 32 mestih, pri čemer MSB mesto predstavlja predznak števila ('1' → negativno), sledi celi del števila, ki je sestavljen iz dveh bitov uteži  $2^1$  in  $2^0$ . Na mestih 28...0 se nahaja neceli del števila. Tak zapis ima sicer zelo omejen obseg ( $\pm 3.999999998$ ), vendar zadošča za računanje kotov v območju  $\pm 90^\circ$ .

Tabela 1: Zapis števila po utežeh v obliki s fiksno vejico

31	30	29	28	27	26	25	24	23	22	21	20	19	18	17	16	15	14	13	12	11	10	9	8	7	6	5	4	3	2	1	0
±	1	0	-1	-2	-3	-4	-5	-6	-7	-8	-9	-10	-11	-12	-13	-14	-15	-16	-17	-18	-19	-20	-21	-22	-23	-24	-25	-26	-27	-28	-29

Največji kot, ki ga lahko vstavimo v opisani CORDIC algoritem, znaša:

$$\theta_{\max} = \sum_{k=0}^{\infty} \arctg(2^{-k}) \approx 1.74328 \text{ rad} \approx 99^\circ \quad (1.10)$$

Preostale kote lahko izračunamo z določanjem kvadranta, kot je prikazano v funkcijah (CORDIC\_SIN, CORDIC\_COS) v JavaScript predlogi vaje.

Elementarne kote v podatkovni poti vpišemo v tabelo, ki se nahaja v predlogi vaje **rom.vhd**. Pretvorbo iz zapisa s plavajočo vejico in opisanim zapisom s fiksno vejico opravlja funkcija (**Conv2fixedPt**) v datoteki (**Cordic\_pkg.vhd**). Funkcija pretvori realno število (**x**) v zapis s fiksno vejico z (**n**) dvojiškimi decimalkami.

```
function Conv2fixedPt (x : real; n : integer) return std_logic_vector
```

Obratno pretvorbo opravlja funkcija (**Conv2real**), ki pretvori število (**s**), zapisano s fiksno vejico z (**n**) dvojiškimi decimalkami v realno število.

```
function Conv2real (s, n : in integer) return real
```

Funkcijo (**Conv2fixedPt**) bomo uporabljali za pretvorbo začetnih CORDIC vrednosti za register (**x0**), medtem ko se funkcija (**Conv2real**) uporablja v priloženi datoteki testnih vrednosti.



Vsebino ROM pomnilnika določimo po enačbi (1.5). ROM element bo vseboval (**sizeof(SIZE - 1)**) naslovov, na katerih se nahajajo zapisani elementarni koti širine (**width**).

```

LIBRARY ieee;
USE ieee.std_logic_1164.all;
use ieee.numeric_std.all;
use WORK.cordic_pkg.all;

entity CORDIC_ROM is
    GENERIC(
        WIDTH : integer := 32;
        SIZE  : integer := 24
    );
    port (
        addr : in std_logic_vector(sizeof(SIZE - 1) - 1 downto 0);
        dout : out std_logic_vector(WIDTH - 1 DOWNTO 0)
    );
end CORDIC_ROM;

```

Tabela 2: Elementarni koti za CORDIC izračun funkcij sin in cos

j	$\arctg(2^{-j})$	$\arctg(2^{-j})2^{29}$	ROM <sub>16</sub>	j	$\arctg(2^{-j})$	$\arctg(2^{-j})2^{29}$	ROM <sub>16</sub>	j	$\arctg(2^{-j})$	$\arctg(2^{-j})2^{29}$	ROM <sub>16</sub>	j	$\arctg(2^{-j})$	$\arctg(2^{-j})2^{29}$	ROM <sub>16</sub>
0	0.785398163	421657428	1921FB54	8	0.00390623	2097141	1FFFF5	16	1.52588E-05	8192	2000	24	5.96046E-08	32	20
1	0.463647609	248918915	ED63383	9	0.001953123	1048575	FFFFF	17	7.62939E-06	4096	1000	25	2.98023E-08	16	10
2	0.244978663	131521918	7D6DD7E	10	0.000976562	524288	80000	18	3.8147E-06	2048	800	26	1.49012E-08	8	8
3	0.124354995	66762579	3FAB753	11	0.000488281	262144	40000	19	1.90735E-06	1024	400	27	7.45058E-09	4	4
4	0.06241881	33510843	1FF55BB	12	0.000244141	131072	20000	20	9.53674E-07	512	200	28	3.72529E-09	2	2
5	0.031239833	16771758	FFEAAE	13	0.00012207	65536	10000	21	4.76837E-07	256	100	29	1.86265E-09	1	1
6	0.015623729	8387925	7FFD55	14	6.10352E-05	32768	8000	22	2.38419E-07	128	80	30	9.31323E-10	0	0
7	0.007812341	4194219	3FFFAB	15	3.05176E-05	16384	4000	23	1.19209E-07	64	40	31	4.65661E-10	0	0

## Števec iteracij CORDIC zanke

Števec iteracij je izveden kot dvojiški števec navzgor po nastavljenem modulu (MODULO). Vsebina štetja (count) se ob aktiviranju signala (nRST) postavi na nič. Če je štetje omogočeno (count\_enable), se ob vsakem prednjem robu signala ure (clk) vsebina štetja (count) poveča za 1. Ko štetje doseže najvišjo vrednost (MODULO - 1) se kombinacijsko aktivira izhod (rco). Funkcija (sizeof) vrne število mest, s katerimi lahko zapišemo najvišjo vrednost štetja (MODULO - 1). Definirana je v paketni datoteki (cordic\_pkg.vhd). Arhitektura števca je podana v predlogi vaje.

```
LIBRARY ieee;
USE ieee.std_logic_1164.all;
use ieee.numeric_std.all;
use WORK.cordic_pkg.all;

ENTITY up_counter IS
    GENERIC(
        MODULO : integer := 24
    );
    PORT(
        clk,
        nRST,
        count_enable      : IN std_logic;
        count              : OUT std_logic_vector( sizeof(MODULO - 1) - 1 DOWNT0 0);
        rco                : OUT std_logic
    );
END up_counter;
```

## Podatkovni register

Podatkovni register (`data_reg`), ki ga boste uporabljali za izvedbo podatkovne poti CORDIC algoritma, je splošni podatkovni register velikosti (`WIDTH`), ki vsebuje vhod za sinhrono nalaganje (`load`). Vsebina na vhodu za vzporedno nalaganje (`X`) se ob prednjem robu signala ure (`clk`) naloži v register (`Q`), če je aktiviran signal (`load`), sicer se vsebina ohranja. Arhitektura registra je podana v predlogi vaje.

```
LIBRARY ieee;
USE ieee.std_logic_1164.all;
use ieee.numeric_std.all;

ENTITY data_reg IS
  GENERIC(
    WIDTH : integer := 32
  );
  PORT( clk, load   : IN std_logic;
        X          : IN std_logic_vector (WIDTH-1 DOWNT0 0);
        Q          : OUT std_logic_vector (WIDTH-1 DOWNT0 0)
  );
END data_reg;
```

*-- load value (loads X when load = '1')*  
*-- output value*

## Enota za seštevanje/odštevanje

Enota za seštevanje/odštevanje (**addsub**), ki jo boste uporabljali za izvedbo podatkovne poti CORDIC algoritma, je poenostavljena aritmetično-logična enota (ALU), ki nad vhodnima operandoma (**A**, **B**) širine (**WIDTH**) opravlja operacijo seštevanja, ko je krmilni signal (**add\_nsub** = **'1'**), sicer operanda odšteva. Kratko bi delovanje enote povzeli z enim VHDL stavkom:

```
S <= (A + B) when ( add_nsub = '1') else (A - B);    -- ta realizacija uporablja RC seštevalnik
```

vendar bi tovrstna realizacija vodila do uporabe RC seštevalnika. Vezje seštevalnika/odštevalnika zaradi hitrosti delovanja realiziramo kot CLA seštevalnik, pri katerem nad vhodnim operandom (**B**) tvorimo pogojni dvojiški komplement (**-B**), kot je opisano na predavanjih (prosojnica 156). Dvojiški komplement tvorimo takrat, ko je zahtevana operacij odštevanja (**add\_nsub** = **'0'**). Takrat vsebino operanda (**B**) negiramo, da dobimo eniški komplement:

```
B_sig <= B when ( add_nsub = '1') else not(B); -- eniški komplement
```

in na vhodni prenos seštevalnika postavimo na **'1'**, kar storimo z ukazom (**Cin => nadd\_sub**) v povezovalnem stavku. Arhitektura enote za seštevanje/odštevanje je podana v predlogi vaje.

```
LIBRARY ieee;
USE ieee.std_logic_1164.all;
use ieee.numeric_std.all;

ENTITY addsub IS
  GENERIC(
    WIDTH : integer := 32
  );
  PORT(
    A , B      : IN      std_logic_vector (WIDTH-1 DOWNT0 0);
    S          : OUT     std_logic_vector (WIDTH-1 DOWNT0 0);
    add_nsub   : IN      std_logic          -- add_nsub = '0' -> subtraction, '1' -> addition
  );
END addsub;
```

## Naloge

1. Ustvarite nov projekt z imenom **BARREL\_SHIFTER\_SRA** v katerega dodajte VHDL datoteko **barrel\_shifter\_sra.vhd** iz predloge projekta v imeniku **BARREL\_SHIFTER\_SRA**. V datoteki (**barrel\_shifter\_sra.vhd**) programirajte arhitekturo splošne strukture vzporednega pomikalnika predznačenih podatkov (**barrel\_shifter\_sra**). Podana je entiteta strukture:

```
library ieee;
use ieee.std_logic_1164.all;
use IEEE.numeric_std.all;
use WORK.cordic_pkg.all;

ENTITY barrel_shifter_sra IS
    GENERIC(
        width : integer := 32;
        size  : integer := 32
    );
    PORT(
        input  : IN      std_logic_vector (WIDTH-1 DOWNT0 0);
        output : OUT     std_logic_vector (WIDTH-1 DOWNT0 0);
        n      : IN      std_logic_vector (sizeof(size - 1) - 1 DOWNT0 0)
    );
END barrel_shifter_sra;

architecture ndv of barrel_shifter_sra is
    type barrel_shifter_type is array (0 to size - 1) of std_logic_vector (width - 1 downto 0);
    signal barrel_shifter : barrel_shifter_type := ( others => (others => '0') );
begin
end ndv;
```

Parameter (**width**) določa število bitov podatka vzporednega pomikalnika predznačenih podatkov, parameter (**size**) določa koliko biten je lahko največji pomik pomikalnika. Vzporedni pomikalnik podatkov kombinacijsko izvaja operacijo SRA (ang. shift right arithmetic) nad vhodnim podatkom (**input**). Izhod vezja (**output**) je za (**n**) mest pomaknjen vhodni podatek, pri čemer se predznak vhodnega podatka ohranja (ang. sign extension). Vezje programirajte tako, da znotraj procesnega stavka v (**for...loop**) zanki tvorite vse možne pomike vhodnega podatka (**input**) in jih zapišete v enodimenzionalno polje (**barrel\_shifter**). Vse možne pomike vhodnega podatka izvedete z ukazom (**resize**). Ta ukaz dano vhodno število spremeni na podano velikost, s tem da pri tem upošteva predznak števila. Če je število predznačeno (**signed**), bo ta ukaz preostala mesta do podane velikosti dopolnil z mestom predznaka (MSB bit števila). Če je vhodni podatek

del vektorja od MSB do tekočega indeksa  $i$  (`input(WIDTH - 1 downto i)`), bo zanka (`for...loop`) pri iteracijah (`size-1 downto 0`) tvorila vse možne pomike. Če povedano strnemo, dobimo:

```
barrel_shifter(i) <= std_logic_vector(resize(signed(input(WIDTH - 1 downto i)), output'length));
```

Ko je enodimenzionalno polje (`barrel_shifter`) ustvarjeno, je potrebno glede na vhodni parameter ( $n$ ) izbrati element polja, ki se pojavi na izhodu. To storimo z izbiralnikom vodil:

```
output <= barrel_shifter(to_integer(unsigned(n))); -- bus multiplexer
```

Pri preverjanju pravilnosti delovanja uporabite priloženo datoteko testnih vrednosti (`barrel_shifter_sra_tb.vhd`) in s simulacijo preverite pravilnost delovanja splošne strukture vzporednega pomikalnika predznačenih podatkov.

2. Ustvarite *nov projekt* z imenom **CORDIC\_FSM** (imenik v predlogi) v katerega dodajte VHDL datoteko **cordic\_fsm.vhd** iz predloge projekta v imeniku **CORDIC\_FSM**. V datoteki (**cordic\_fsm.vhd**) programirajte entiteto in arhitekturo Moore-ovega avtomata končnih stanj, ki krmili delovanje CORDIC algoritma.

Podana je entiteta avtomata (CORDIC\_FSM) in diagram prehajanja stanj:

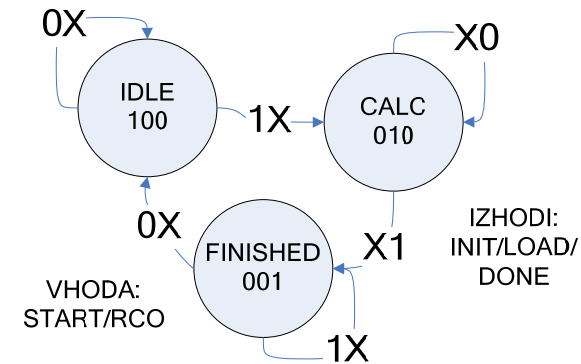
```
library ieee;
use ieee.std_logic_1164.all;
use IEEE.numeric_std.all;

ENTITY CORDIC_FSM IS
    PORT(
        clk, nRST, start, rco    : IN std_logic;
        init, load, done         : OUT std_logic
    );
END CORDIC_FSM;

ARCHITECTURE rtl OF CORDIC_FSM IS

    TYPE STATE_TYPE IS ( IDLE, CALC, FINISHED );
    SIGNAL state, next_state : STATE_TYPE := IDLE;

BEGIN
    END rtl;
```



**Slika 5:** Avtomat končnih stanj za krmiljenje CORDIC algoritma.

Programirajte delovanje avtomata v VHDL po priloženem diagramu prehajanja stanj na sliki 5. Avtomat ima tri stanja (**IDLE**, **CALC**, **FINISHED**). Ob aktivnem signalu (**nRST**) se postavi v stanje (**IDLE**). Ob aktiviranju (**start**) signala preide v stanje (**CALC**), kjer ostaja dokler se ne aktivira vhod iz števca iteracij CORDIC algoritma (**rco**). V stanju (**CALC**) postavi izhod (**load**). Takrat preide v stanje (**FINISHED**), kjer čaka na deaktiviranje (**start**) signala. V stanju (**FINISHED**) postavi izhod (**done**). Ko se signal (**start**) deaktivira se vrne v stanje (**IDLE**).

Pri preverjanju pravilnosti delovanja uporabite priloženo datoteko testnih vrednosti (**CORDIC\_FSM\_tb.vhd**) in s simulacijo preverite pravilnost delovanja Moore-ovega avtomata končnih stanj, ki krmili delovanje CORDIC algoritma.

3. Ustvarite nov projekt z imenom **CORDIC\_MAIN** (imenik v predlogi) v katerega dodajte VHDL datoteko **cordic.vhd** iz predloge projekta v imeniku **CORDIC\_MAIN** in datoteke prej izdelanega vzporednega pomikalnika podatkov (**barrel\_shifter\_sra.vhd**) ter avtomata končnih stanj (**cordic\_fsm.vhd**). V datoteki (**cordic.vhd**) programirajte arhitekturo CORDIC algoritma. Podana je entiteta:

```
LIBRARY ieee;
USE ieee.std_logic_1164.all;
use ieee.numeric_std.all;
use WORK.cordic_pkg.all;

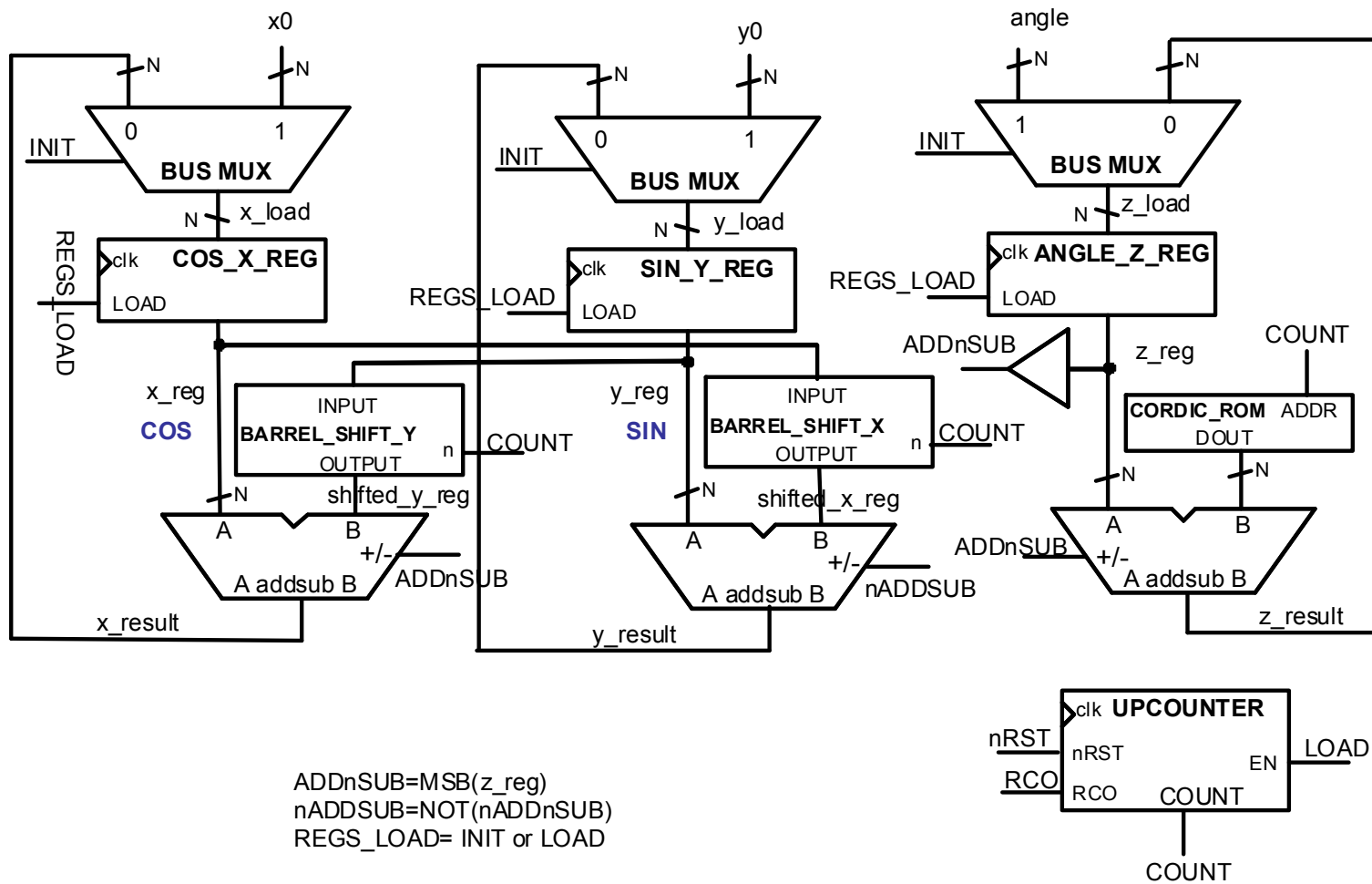
ENTITY cordic IS
    GENERIC(
        WIDTH : integer := 32
    );
    PORT(
        clk, nRST, start : IN std_logic;
        angle             : IN std_logic_vector ( WIDTH - 1 DOWNTO 0);  -- angle(radians)!!!
        sin, cos          : OUT std_logic_vector ( WIDTH - 1 DOWNTO 0);
        done              : OUT std_logic
    );
END cordic;

ARCHITECTURE rtl OF cordic IS

    SIGNAL      count : std_logic_vector(sizeof(WIDTH - 1) - 1 DOWNTO 0);  -- if width=32, count goes from 0 to 31
    SIGNAL      x_load, y_load, z_load,
               x_reg, y_reg, z_reg,
               x_result, y_result, z_result,
               cordic_coefficient,
               shifted_y_reg, shifted_x_reg : std_logic_vector(WIDTH-1 DOWNTO 0) := (others => '0');
    SIGNAL init, load, add_nsub, nadd_sub, rco, regs_load : std_logic;
    constant x0 : std_logic_vector(WIDTH - 1 downto 0) := Conv2fixedPt ( inverseK, WIDTH);  -- 1/1.64676025812107
    constant y0 : std_logic_vector(WIDTH - 1 downto 0) := (others => '0');
BEGIN
END rtl;
```

Povezovanje komponent podatkovne poti izvedite po priloženi shemi na sliki 6. Potrebne komponente podatkovne poti se nahajajo v imeniku predloge, manjkata datoteki krmilnega avtomata in vzporednega pomikalnika podatkov. V datoteko (**cordic.vhd**) povežite krmilni avtomat (**CORDIC\_FSM**), ki ste ga programirali v prejšnji točki. Izbiralnike vodil na sliki 6 (ang. bus multiplexer) programirajte z uporabo (**when-else**) stavka. Pri preverjanju pravilnosti delovanja uporabite priloženo datoteko testnih vrednosti (**CORDIC\_tb.vhd**) in s simulacijo preverite pravilnost delovanja CORDIC algoritma.





Slika 6: Podrobna shema podatkovne poti CORDIC algoritma.

## Dodatno

CORDIC algoritem poleg načina vrtenja (ang. rotation mode) obstaja tudi v vektorskem načinu (ang. vectoring mode). Poleg krožnega koordinatnega sistema (ang. circular) ga lahko uporabljamo še v linearnem (ang. linear) ali hiperboličnem (ang. hyperbolic) koordinatnem sistemu. Če želimo izračunati vrednosti funkcij  $\sinh$  in  $\cosh$ , ohranimo elemente podatkovne poti te vaje. Spremenimo le tabelo elementarnih kotov: Izračunamo jih kot  $\tanh(\alpha_j) = 2^{-j}$ , pri čemer indeks  $j$  teče od 1. Nekatere vrednosti  $j$  se ponovijo, s čimer dosežemo konvergenco vrste korekcijskih faktorjev  $K$ . Vsota te konvergentne vrste znaša  $K_{-1} = 0.82816$ . Začetno vrednost registra  $x$  prednaložimo z vrednostjo  $x_0 = 1/K_{-1}$ . Po mikrorotacijah se v registru  $x$  nahaja vrednost  $\cosh$ , v registru  $y$  pa  $\sinh$ . Operacije, ki jih lahko računamo z uporabo CORDIC algoritma, so strnjene v tabelah 3 in 4 [1].

**Tabela 3: Poenoten opis CORDIC algoritma.**

Coordinates	Rotation mode $\sigma_j = \text{sign}(z[j])^+$	Vectoring mode $\sigma_j = -\text{sign}(y[j])^+$
Circular ( $m = 1$ ) $\alpha_j = \tan^{-1}(2^{-j})$ initial $j = 0$ $j = 0, 1, 2, \dots, n$ $K_1 \approx 1.64676$ $\theta_{max} \approx 1.74329$	$x_f = K_1(x_{in} \cos(z_{in}) - y_{in} \sin(z_{in}))$ $y_f = K_1(x_{in} \sin(z_{in}) + y_{in} \cos(z_{in}))$ $z_f = 0$	$x_f = K_1(x_{in}^2 + y_{in}^2)^{1/2}$ $y_f = 0$ $z_f = z_{in} + \tan^{-1}(\frac{y_{in}}{x_{in}})$
Linear ( $m = 0$ ) $\alpha_j = 2^{-j}$ initial $j = 0$ $j = 0, 1, 2, \dots, n$ $K_0 = 1$ $\theta_{max} = 2 - 2^{-n}$	$x_f = x_{in}$ $y_f = y_{in} + x_{in} z_{in}$ $z_f = 0$	$x_f = x_{in}$ $y_f = 0$ $z_f = z_{in} + \frac{y_{in}}{x_{in}}$
Hyperbolic ( $m = -1$ ) $\alpha_j = \tanh^{-1}(2^{-j})$ initial $j = 1$ $j = 1, 2, 3, 4, 4, 5, \dots, 13, 13, \dots$ $K_{-1} \approx 0.82816$ $\theta_{max} \approx 1.11817$	$x_f = K_{-1}(x_{in} \cosh(z_{in}) + y_{in} \sinh(z_{in}))$ $y_f = K_{-1}(x_{in} \sinh(z_{in}) + y_{in} \cosh(z_{in}))$ $z_f = 0$	$x_f = K_{-1}(x_{in}^2 - y_{in}^2)^{1/2}$ $y_f = 0$ $z_f = z_{in} + \tanh^{-1}(\frac{y_{in}}{x_{in}})$

<sup>+</sup>  $\text{sign}(a) = 1$  if  $a \geq 0$ ,  $\text{sign}(a) = -1$  if  $a < 0$ .

**Tabela 4: Nekatere operacije, ki jih računa CORDIC algoritem.**

$m$	Mode	Initial values			Functions	
		$x_{in}$	$y_{in}$	$z_{in}$	$x_R$	$y_R$ or $z_R$
1	rotation	1	0	$\theta$	$\cos \theta$	$y_R = \sin \theta$
-1	rotation	1	0	$\theta$	$\cosh \theta$	$y_R = \sinh \theta$
-1	rotation	$a$	$a$	$\theta$	$ae^\theta$	$y_R = ae^\theta$
1	vectoring	1	$a$	$\pi/2$	$\sqrt{a^2 + 1}$	$z_R = \cot^{-1}(a)$
-1	vectoring	$a$	1	0	$\sqrt{a^2 - 1}$	$z_R = \coth^{-1}(a)$
-1	vectoring	$a + 1$	$a - 1$	0	$2\sqrt{a}$	$z_R = 0.5 \ln(a)$
-1	vectoring	$a + \frac{1}{4}$	$a - \frac{1}{4}$	0	$\sqrt{a}$	$z_R = \ln(\frac{1}{4}a)$
-1	vectoring	$a + b$	$a - b$	0	$2\sqrt{ab}$	$z_R = 0.5 \ln(\frac{a}{b})$

## Seznam literature

- [1] Ercegovac, Lang "*Digital arithmetic*", spletno gradivo k knjigi,  
[http://www.cs.ucla.edu/digital\\_arithmetic/files/ch11.pdf](http://www.cs.ucla.edu/digital_arithmetic/files/ch11.pdf) (obiskano dne 22.6.2013)
- [2] Ercegovac, Lang, "*Digital arithmetic*", Elsevier Science, 2003, ISBN 1-55860-798-6
- [3] Pongyupinpanich Surapong, Faizal Arya Samman and Manfred Glesner "*Design and Analysis of Extension-Rotation CORDIC Algorithms based on Non-Redundant Method*",  
[http://www.sersc.org/journals/IJSIP/vol5\\_no1/6.pdf](http://www.sersc.org/journals/IJSIP/vol5_no1/6.pdf) (obiskano dne 18.6.2013)
- [4] J. S. Walther, "*A unified algorithm for elementary functions*", Spring Joint Computer Conference proceedings, 1971  
<http://www.computer.org/csdl/proceedings/afips/1971/5077/00/50770379.pdf> (obiskano dne 8.6.2013)
- [5] Dirk, "*CORDIC Algorithm COordinate Rotation DIgital Computer*", Course INF5430 - Spring 2012  
[http://www.uio.no/studier/emner/matnat/ifi/INF5430/v12/undervisningsmateriale/dirk/Lecture\\_cordic.pdf](http://www.uio.no/studier/emner/matnat/ifi/INF5430/v12/undervisningsmateriale/dirk/Lecture_cordic.pdf) (obiskano dne 8.6.2013)
- [6] Rick Parris, "Elementary Functions and Calculators", Phillips Exeter Academy  
<http://math.exeter.edu/rparris/peanut/cordic.pdf> (obiskano dne 12.6.2013)
- [7] M. J. Flynn, "*The Higher Level Functions (HLFs)*", Stanford University,  
<http://www.stanford.edu/class/ee486/doc/lecture18.pdf> (obiskano dne 6.6.2013)
- [8] Young W. Lim "*CORDIC in VHDL (1A)*", 2011,  
<http://upload.wikimedia.org/wikiversity/en/0/0d/CORDIC.VHDL.1.A.20111110.pdf> (obiskano dne 17.6.2013)
- [9] J.C. Bajard, S. Kila, J. M. Muller: "*BKM: A New Hardware Algorithm for Complex Elementary Functions*",  
IEEE TRANSACTIONS ON COMPUTERS, VOL. 43, NO. 8, 1994 str. 955–963  
<http://hal.archives-ouvertes.fr/docs/00/08/68/94/PDF/BKM94.pdf> (obiskano dne 17.6.2013)